

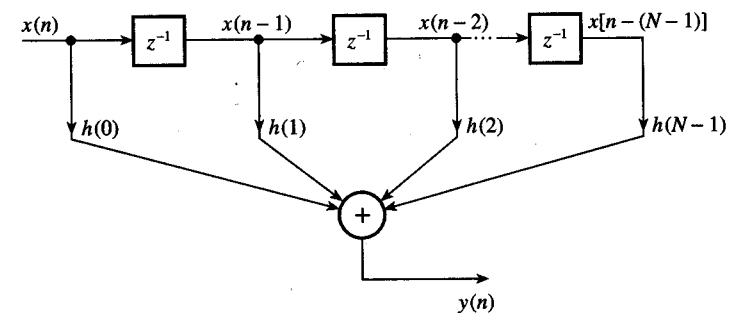
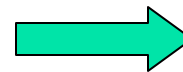
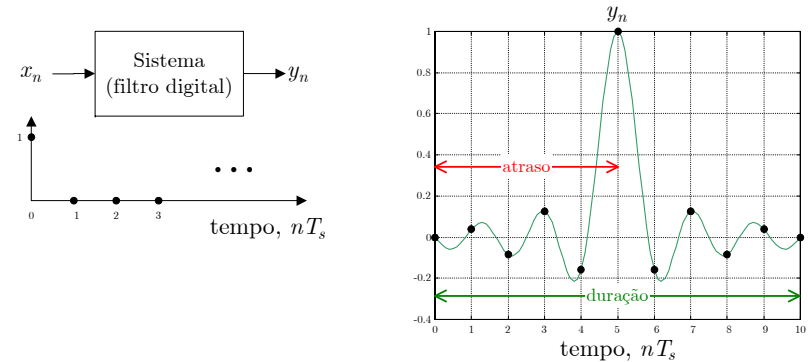
# SPDS/PSC – FILTROS FIR I

- Excitando um filtro com a sequência unitária obtém-se na saída a resposta ao impulso
- Nesta figura, a resposta dura  $10T_s$ , o atraso do filtro é  $5T_s$  e o sistema pode ser representado pelo filtro digital com resposta ao impulso finita FIR (*Finite Impulse Response*) cuja estrutura (transversal) é ( $N=11$ )
- A saída  $y(n)$  só depende da entrada actual  $x(n)$  e das  $N-1$  entradas anteriores:

$$y(n) = \sum_{i=0}^{N-1} h(i) \cdot x(n-i)$$

- A função de sistema é (aplicando a transformada Z)

$$Y(z) = \sum_{i=0}^{N-1} h(i) \cdot X(z) \cdot z^{-i} \Rightarrow H(z) = \frac{Y(z)}{X(z)} = \sum_{i=0}^{N-1} h(i) \cdot z^{-i}$$



# SPDS/PSC – FILTROS FIR II

## ■ Vantagens:

1. Podem ser projectados com fase linear
2. Podem ser realizados como recursivos ou não-recursivos
3. Permite realizar qualquer função de filtragem através do dimensionamento dos coeficientes
4. Os FIR não-recursivos são sempre estáveis  $\Rightarrow$  ideais para processamento de sinal adaptativo

$$H(z) = \sum_{i=0}^{N-1} h(i) \cdot z^{-i} = \frac{\sum_{i=0}^{N-1} h(i) \cdot z^{-i+N-1}}{z^{N-1}} = \frac{\sum_{j=0}^{N-1} h(N-1-j) \cdot z^j}{z^{N-1}}$$

polinómio em potências positivas de  $z \Rightarrow N-1$  zeros

$N-1$  pólos em  $z=0$ , no interior do círculo unitário

5. Erros numéricos são pequenos nos FIR não-recursivos

## ■ Desvantagens:

1. Baixa selectividade  $\Rightarrow$  necessário  $N$  muito grande
2. Atraso nem sempre é um número inteiro de períodos de amostragem

## ■ Característica de fase

$$H(z) \Big|_{z=e^{j\omega T_s}} = |H(j\omega)| e^{j\varphi(\omega)} = \sum_{n=0}^{N-1} h(n) \cdot e^{-j\omega n T_s}$$

$$\varphi(\omega) = -\arctan \left( \frac{\sum_{n=0}^{N-1} h(n) \cdot \sin(\omega n T_s)}{\sum_{n=0}^{N-1} h(n) \cdot \cos(\omega n T_s)} \right)$$

## SPDS/PSC – FILTROS FIR III

- Característica de fase **linear**:

$$\varphi(\omega) = \beta - \tau\omega$$

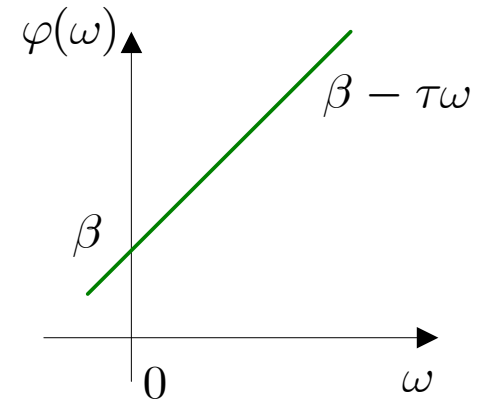
- O atraso de grupo é dado por

$$\tau_g = -\frac{\partial\varphi(\omega)}{\partial\omega} = \tau$$

de forma que, combinando as equações

$$\frac{\sin(\beta - \tau\omega)}{\cos(\beta - \tau\omega)} = -\frac{\sum_{n=0}^{N-1} h(n) \cdot \sin(\omega n T_s)}{\sum_{n=0}^{N-1} h(n) \cdot \cos(\omega n T_s)}$$

o que equivale a verificar-se: 
$$\sum_{n=0}^{N-1} h(n) \cdot \sin[\omega(nT_s - \tau) + \beta] = 0$$



**Soluções:** (exercício...)

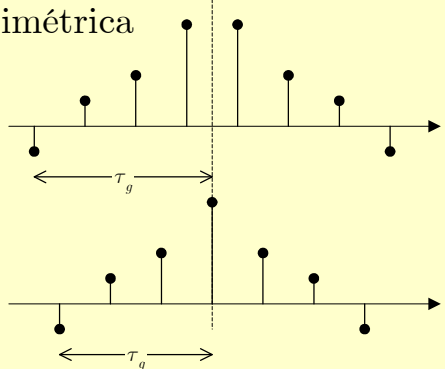
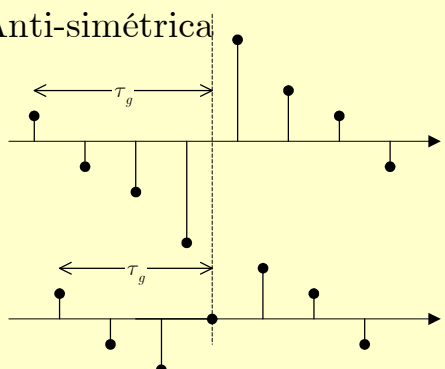
$$\tau = (N-1)\frac{T_s}{2} \quad \text{e} \quad \begin{cases} \beta=0 \text{ e } h(n) = h(N-1-n) & \longrightarrow \text{Resposta simétrica} \\ \beta=\pm\frac{\pi}{2} \text{ e } h(n) = -h(N-1-n) & \longrightarrow \text{Resposta anti-simétrica} \end{cases}$$

# SPDS/PSC – FILTROS FIR IV

- Filtros FIR com fase linear: têm resposta impulsional simétrica ou anti-simétrica e atraso de grupo

$$\tau_g = (N - 1) \frac{T_s}{2}$$

- Resposta em frequência dos filtros FIR com fase linear:

$h(n)$	Caso	$N$	$H(j\omega)$
<p>Simétrica</p> 	1	Par (8)	$e^{-j\omega\tau_g} \sum_{n=0}^{N/2-1} 2h_n \cos\left(\left[n - \frac{N-1}{2}\right]\omega T_s\right)$
	2	Ímpar (7)	$e^{-j\omega\tau_g} \left[ h_{\frac{N-1}{2}} + 2 \sum_{n=0}^{(N-3)/2} h_n \cos\left(\left[n - \frac{N-1}{2}\right]\omega T_s\right) \right]$
<p>Anti-simétrica</p> 	3	Par (8)	$e^{-j\left(\omega\tau_g - \frac{\pi}{2}\right)} \sum_{n=0}^{N/2-1} 2h_n \sin\left(\left[n - \frac{N-1}{2}\right]\omega T_s\right)$
	4	Ímpar (7)	$e^{-j\left(\omega\tau_g - \frac{\pi}{2}\right)} \left[ h_{\frac{N-1}{2}} + 2 \sum_{n=0}^{(N-3)/2} h_n \sin\left(\left[n - \frac{N-1}{2}\right]\omega T_s\right) \right]$

# SPDS/PSC – FILTROS FIR V

Particularidades da resposta em frequência:

$$H(0) = H(\omega_s) = \sum_{n=0}^{N-1} h(n)$$

$$H\left(\frac{\omega_s}{2}\right) = \sum_{n=0}^{N-1} h(n) \cdot (-1)^n$$

- **Caso 1:** resposta simétrica,  $N$  par

$$H\left(\frac{\omega_s}{2}\right) = 0$$

filtros passa-alto não podem ser realizados

- **Caso 2:** resposta simétrica,  $N$  ímpar

- **Caso 3:** resposta anti-simétrica,  $N$  par

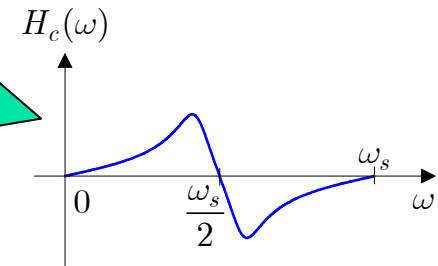
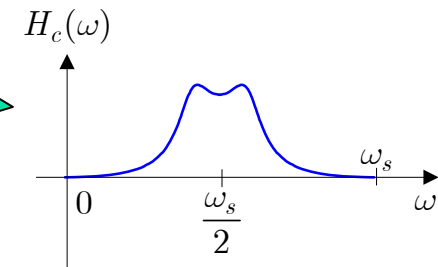
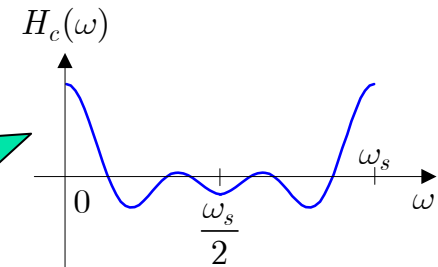
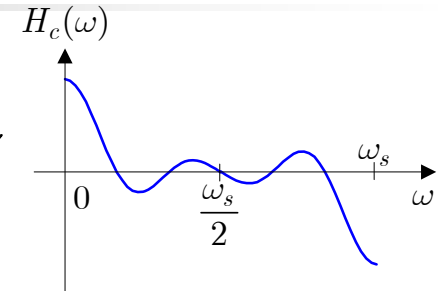
$$H(0) = 0$$

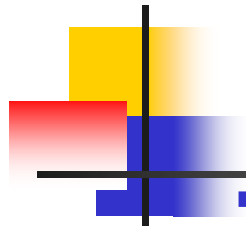
$\Rightarrow$  fase constante de  $\pi/2 - \omega\tau$ , útil na realização de diferenciadores e transformadores de Hilbert

- **Caso 4:** resposta anti-simétrica,  $N$  ímpar

$$H(0) = 0 \text{ e } H\left(\frac{\omega_s}{2}\right) = 0$$

$\Rightarrow$  fase constante  $\pi/2 - \omega\tau$ : útil para diferenciadores e transformadores de Hilbert





# SPDS/PSC – PROJECTO DE FILTROS FIR I

## ■ Métodos:

1. Desenvolvimento em série de Fourier
2. Amostragem da resposta em frequência (recursivo e não-recursivo)
3. Métodos de optimização numérica

### 1. Desenvolvimento em série de Fourier

- $H(j\omega)$  é periódica em  $\omega$ , com período  $\omega_s$  e pode ser aproximada pela série de Fourier

$$H(j\omega) = \sum_{n=-\infty}^{\infty} h(n) \cdot e^{-j\omega n T_s} \quad \text{com} \quad h(n) = \frac{1}{\omega_s} \int_{-\omega_s/2}^{\omega_s/2} H(j\omega) \cdot e^{j\omega n T_s} d\omega$$

- $H(j\omega)$  é não-causal e infinita logo origina um filtro **não-causal** com resposta impulsional **infinita**

$$H(z) = \sum_{n=-\infty}^{\infty} h(n) \cdot z^{-n}$$

- Truncando a série:  $h(n)=0$  para  $|n| > (N-1)/2$  com  $N$  ímpar, obtém-se

$$H(z) = h(0) + \sum_{n=1}^{(N-1)/2} [h(-n) \cdot z^n + h(n) \cdot z^{-n}]$$

de forma que a função de sistema

$$H'(z) = z^{-\frac{N-1}{2}} H(z)$$

é causal.

## SPDS/PSC – PROJECTO DE FILTROS FIR II

**Exemplo:** Projecto de filtro FIR ideal passa-baixo

$$H_{ideal}(j\omega) = \begin{cases} 1, & |\omega| \leq \omega_c \\ 0, & \omega_c \leq |\omega| \leq \frac{\omega_s}{2} \end{cases}$$

Os coeficientes obtêm-se de

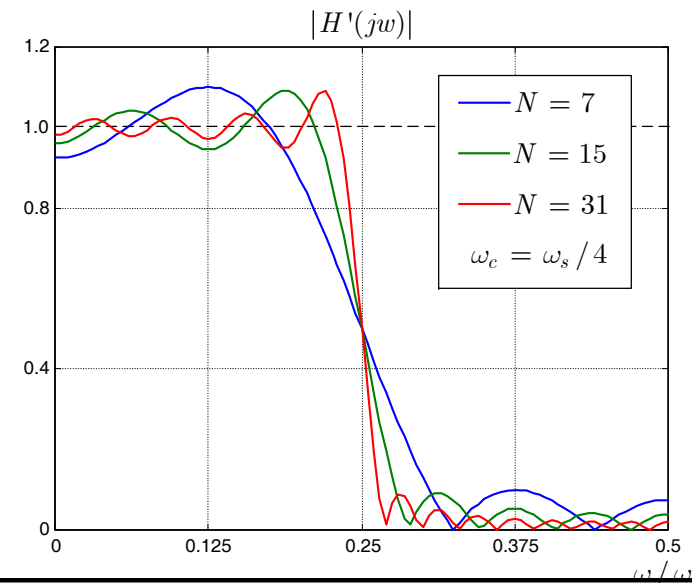
$$h(n) = \frac{1}{\omega_s} \int_{-\omega_c}^{\omega_c} e^{j\omega n T_s} d\omega = \frac{\sin(n\omega_c T_s)}{n\pi}$$

e a função de sistema é:

$$H'(z) = z^{-\frac{N-1}{2}} \left[ \frac{\omega_c T_s}{\pi} + \sum_{n=1}^{(N-1)/2} \frac{\sin(n\omega_c T_s)}{n\pi} (z^n + z^{-n}) \right]$$

- A ondulação na banda de passagem tem um valor máximo que é quase independente de  $N \Rightarrow$  **fenómeno de Gibbs**
- $N$  elevado  $\Rightarrow$  aumenta a frequência mas não reduz a amplitude da ondulação

**Conclusão:** método pouco eficiente



# SPDS/PSC – PROJECTO DE FILTROS FIR III

- Correção da série de Fourier com janelas (*windowing*)
- A truncatura abrupta da série de Fourier provoca oscilações de grande amplitude na atenuação do filtro. É preferível reduzir os coeficientes de forma progressiva, através da multiplicação por janelas

$$\hat{h}(n) = h(n) \cdot w(n) \quad \text{com} \quad w(n) = \begin{cases} \neq 0, & n = 0, \dots, N-1 \\ 0, & \text{outros} \end{cases}$$

- A resposta em frequência do filtro inicial é modificada pois resulta da convolução na frequência de  $H(j\omega)$  com  $W(j\omega)$

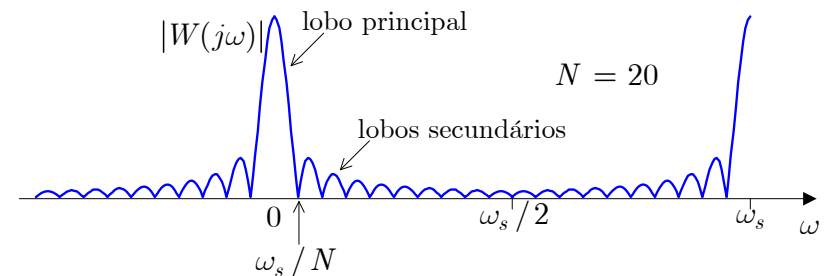
$$\hat{H}(j\omega) = H(j\omega) \otimes W(j\omega) = \int_{-\omega_s/2}^{\omega_s/2} H(j\lambda) W(j\omega - j\lambda) d\lambda$$

**Exemplo:** (janela rectangular do exemplo anterior)

$$w(n) = \begin{cases} 1, & n = 0, \dots, N-1 \\ 0, & \text{outros} \end{cases}$$

$$W(j\omega) = \sum_{n=0}^{N-1} e^{-jn\omega T_s} = e^{-j\frac{N-1}{2}\omega T_s} \frac{\sin(N\omega T_s/2)}{N\omega T_s/2}$$

Janela com lobo principal largo e lobos secundários grandes. A selectividade e a ondulação do filtro resultante dependem destes factores





# SPDS/PSC – PROJECTO DE FILTROS FIR IV

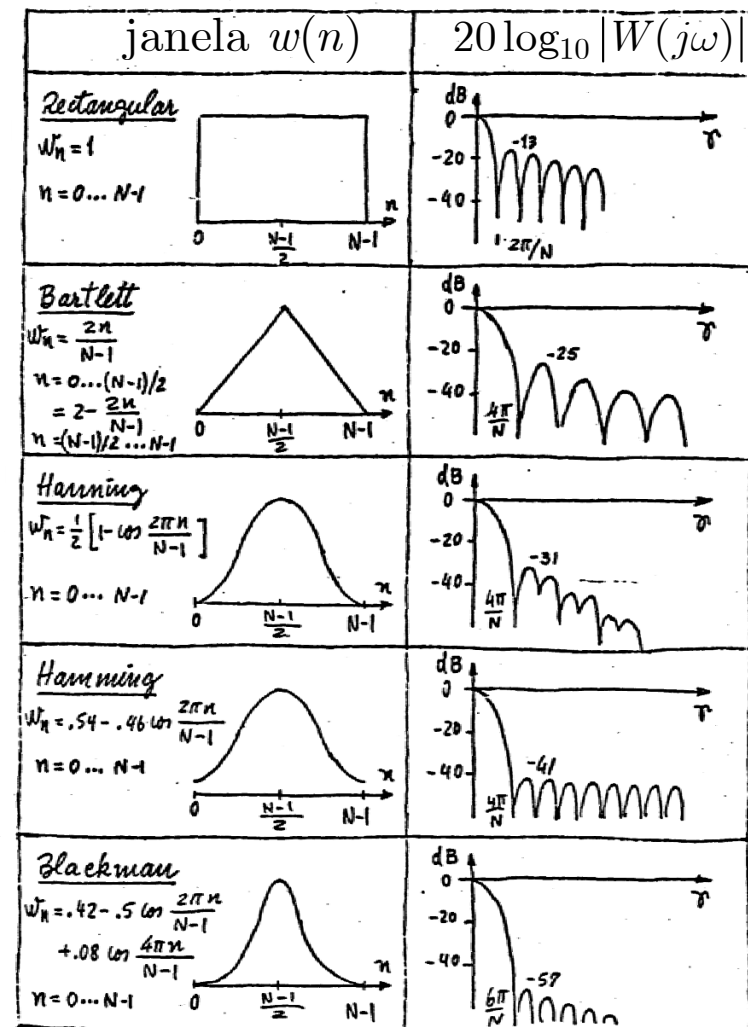
- Janelas com inclinação (diferentes da janela rectangular)
- Permitem lobos secundários de menor amplitude mas lobo principal mais largo  $\Rightarrow$  ondulação devido ao fenómeno de *Gibbs* é reduzida mas a banda de transição é mais larga (filtro menos selectivo)
- O aumento de  $N$  torna os lobos mais estreitos mas com a mesma amplitude relativa
- A banda de transição (normalizada) é

$$\frac{\Delta f}{f_s} = \frac{\text{Constante dependente da janela}}{N}$$

Name of window function	Transition width (Hz) (normalized)	Passband ripple (dB)	Main lobe relative to side lobe (dB)	Stopband attenuation (dB) (maximum)	Window function $w(n),  n  \leq (N-1)/2$
Rectangular	$0.9/N$	0.7416	13	21	1
Hanning	$3.1/N$	0.0546	31	44	$0.5 + 0.5 \cos\left(\frac{2\pi n}{N}\right)$
Hamming	$3.3/N$	0.0194	41	53	$0.54 + 0.46 \cos\left(\frac{2\pi n}{N}\right)$
Blackman	$5.5/N$	0.0017	57	75	$0.42 + 0.5 \cos\left(\frac{2\pi n}{N-1}\right) + 0.08 \cos\left(\frac{4\pi n}{N-1}\right)$
	$2.93/N$ ( $\beta = 4.54$ )	0.0274		50	$\frac{I_0(\beta\{1 - [2n/(N-1)]^2\}^{1/2})}{I_0(\beta)}$
Kaiser	$4.32/N$ ( $\beta = 6.76$ )	0.002 75		70	
	$5.71/N$ ( $\beta = 8.96$ )	0.000 275		90	

# SPDS/PSC – PROJECTO DE FILTROS FIR V

- Conclusões sobre o método:  
**desenvolvimento em série de Fourier com correcção por janela**
- Aplicação muito simples. O método é computacionalmente eficiente
- Falta de flexibilidade. Apenas a janela de Kaiser permite alguma flexibilidade na troca de banda de transição por ondulação na banda de passagem
- Devido à convolução entre  $H(j\omega)$  e  $W(j\omega)$ , as frequências que definem a banda de passagem e de atenuação não podem ser especificadas com precisão
- O aumento de  $N$  torna os lobos mais estreitos mas com a mesma amplitude relativa
- Pode ser difícil obter  $h(n)$  analiticamente, a partir da série de Fourier, o que torna inviável a aplicação do método



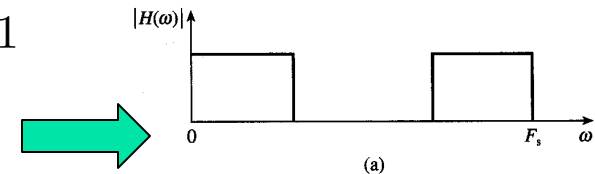
# SPDS/PSC – PROJECTO DE FILTROS FIR VI

## 2. Amostragem da resposta em frequência: filtro FIR não-recursivo

- Especifica-se a amplitude e a fase da resposta em frequência pretendida, em  $N$  pontos igualmente espaçados no intervalo  $\omega \in [0, \omega_s [$ , nas frequências:

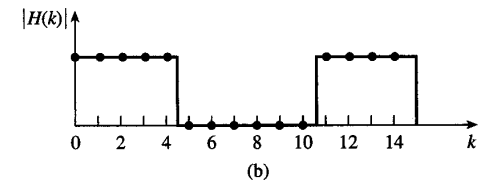
$$\omega_k = \omega_s \frac{k}{N} : k = 0, 1, \dots, N-1$$

$$H(k) = H(z)|_{z=e^{j\omega_k T_s}}$$

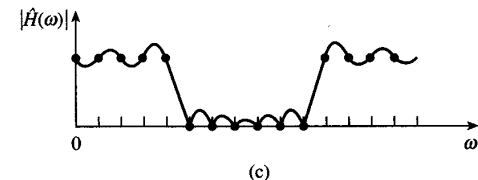


- As amostras da resposta ao impulso podem obter-se a partir da Transformada discreta de Fourier (IDFT)

$$h(n) = \frac{1}{N} \sum_{k=0}^{N-1} H(k) e^{j\frac{2\pi}{N}nk}$$



- A função de sistema sintetizada pelo filtro resultante vem dada por



$$\begin{aligned} \hat{H}(z) &= \sum_{n=0}^{N-1} h(n) z^{-n} = \sum_{n=0}^{N-1} \left[ \frac{1}{N} \sum_{k=0}^{N-1} H(k) e^{j\frac{2\pi}{N}nk} \right] z^{-n} = \frac{1}{N} \sum_{k=0}^{N-1} H(k) \underbrace{\sum_{n=0}^{N-1} \left( e^{j\frac{2\pi}{N}k} z^{-1} \right)^n}_{\text{série geométrica}} \\ &= \frac{1 - z^{-N}}{N} \sum_{k=0}^{N-1} \frac{H(k)}{1 - e^{j\frac{2\pi}{N}k} z^{-1}} \end{aligned}$$

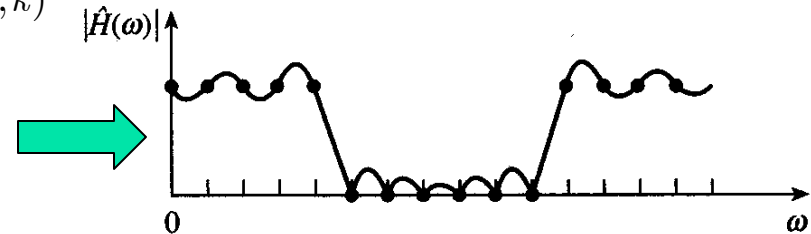
# SPDS/PSC – PROJECTO DE FILTROS FIR VII

- A resposta em frequência é

$$\hat{H}(j\omega) = \frac{e^{-j\frac{\omega T_s(N-1)}{2}}}{N} \sum_{k=0}^{N-1} H(k) \cdot S(\omega, k)$$

com

$$S(\omega, k) = e^{-j\frac{\pi k}{N}} \frac{\sin\left(\frac{\omega T_s N}{2}\right)}{\sin\left(\frac{\omega T_s}{2} - \frac{\pi k}{N}\right)}$$



- **Nota:** quando  $\omega \rightarrow \omega_k = \omega_s k / N$  pode mostrar-se que (exercício...)

$$\lim_{\omega \rightarrow \omega_k = \frac{\omega_s k}{N}} S(\omega, k) = N e^{-j\pi k \left(\frac{1}{N} \pm 1\right)}$$

$$\lim_{\omega \rightarrow \omega_k = \frac{\omega_s k}{N}} \hat{H}(\omega) = H(k)$$

- Para  $\omega = \omega_k$ ,  $\hat{H}(j\omega_k) = H(k)$  tem o valor correcto, especificado. Quando  $\omega \neq \omega_k$ ,  $\hat{H}(j\omega)$  **interpola** continuamente as amostras  $H(k)$  da resposta em frequência através da função  $S(\omega, k)$  **que é muito selectiva**

# SPDS/PSC – PROJECTO DE FILTROS FIR VIII

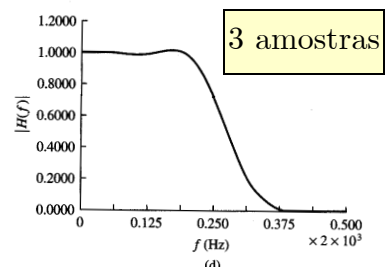
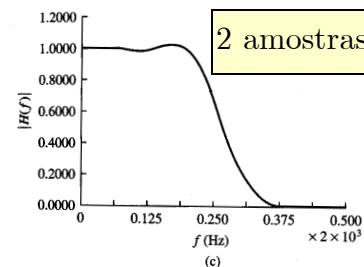
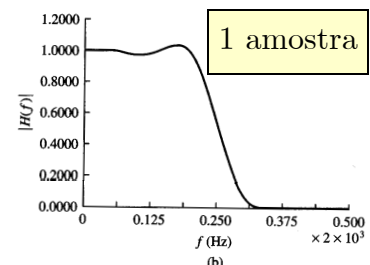
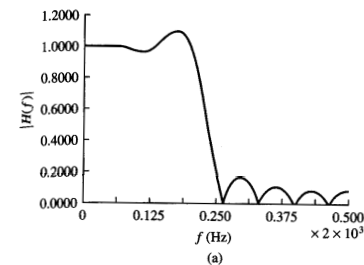
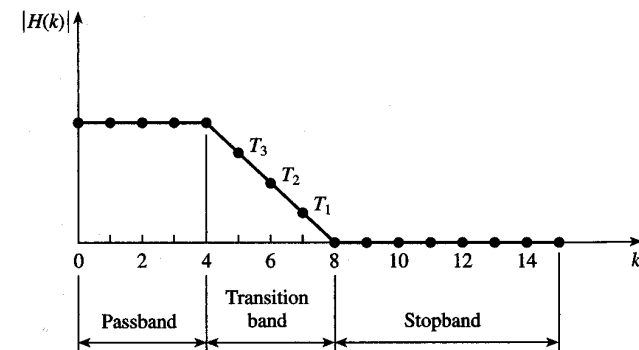
- Devido à transição abrupta na especificação dos valores  $H(k)$ , a atenuação do filtro resultante não é muito elevada e a ondulação é grande. Este problema é semelhante ao que ocorre com o método do desenvolvimento em série de Fourier, com a truncatura dos coeficientes
- Pode melhorar-se a atenuação especificando uma transição menos abrupta, com mais amostras
- No caso de um filtro passa-baixo, por cada amostra na banda de transição a atenuação aumenta de aproximadamente 20 dB e a largura da banda de transição de aproximadamente  $f_s/N$  (Hertz). Filtro de ordem  $N$  com  $M$  amostras de transição:

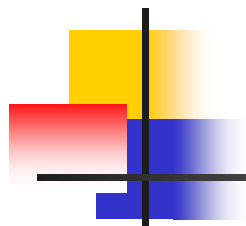
$$\text{Atenuação} \approx (25 + 20M) \text{ dB}$$

$$\text{Banda de transição} \approx \frac{(M + 1)}{N} f_s$$

- Exemplo:**  $f_s=2\text{kHz}$ , filtro com 15 amostras

$$H(k) = \begin{cases} 1, & k = 0, 1, 2, 3 \text{ e } 14, 13, 12, 11 \\ 0, & k = 4 \text{ a } 10 \end{cases}$$





## SPDS/PSC – PROJECTO DE FILTROS FIR IX

### 2. Amostragem da resposta em frequência: filtro FIR recursivo

- Quando as banda de interesse do filtro (i.e., passagem de sinal) ocupam uma fracção pequena do intervalo  $\omega \in [0, \omega_s/2[$ , muitos dos  $N-1$  valores de  $H(k)$  (função especificada) são **nulos**. No entanto, em geral, os  $h(n)$  **não são nulos** e têm de ser tidos em conta no cálculo não-recursivo do filtro de acordo com:

$$\hat{H}(z) = \sum_{n=0}^{N-1} h(n)z^{-n}$$

- A representação alternativa:

$$\hat{H}(z) = \underbrace{\frac{1 - z^{-N}}{N}}_{comb\ filter} \sum_{k=0}^{N-1} \underbrace{\frac{H(k)}{1 - e^{j\frac{2\pi}{N}k} z^{-1}}}_{filtro\ recursivo}$$

permite concluir que o filtro pode ser realizado como a cascata de um filtro **pente** (*comb filter*) com um filtro que é a soma de  $N$  filtros recursivos de 1ª ordem, com coeficientes complexos  $e^{j2\pi k/N}$

- Os  $N$  zeros do filtro pente **cancelam** os pólos do filtro recursivo de forma que de facto se tem um FIR
- Na prática, devido à utilização de palavras de comprimento finito, este cancelamento **não é perfeito** pelo que o filtro resultante é de facto um IIR (resposta impulsional infinita), potencialmente instável

# SPDS/PSC – PROJECTO DE FILTROS FIR X

Para evitar os problemas de instabilidade faz-se a amostragem da resposta em frequência com um raio  $r$  ligeiramente inferior a 1 e obtém-se

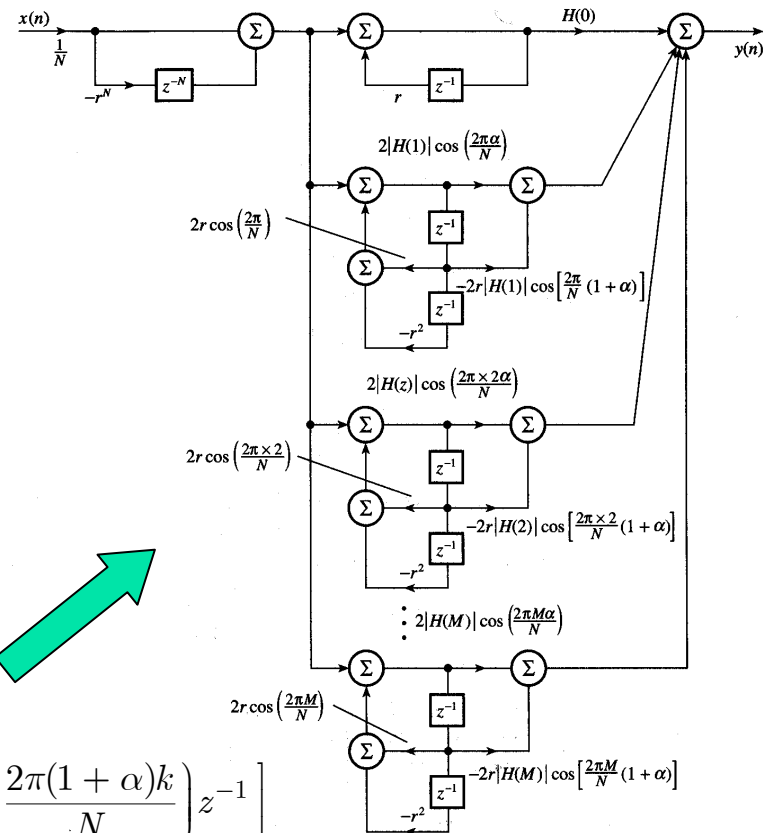
$$\hat{H}(z) = \underbrace{\frac{1 - r^N z^{-N}}{N}}_{\text{comb filter}} \sum_{k=0}^{N-1} \underbrace{\frac{H(k)}{1 - r e^{j\frac{2\pi}{N}k} z^{-1}}}_{\text{filtro recursivo}}$$

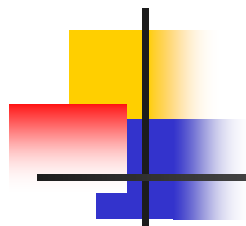
Para um filtro com resposta impulsional **simétrica** pode mostrar-se que, com

$$M = \left\lfloor \frac{N-1}{2} \right\rfloor \text{ e } \alpha = \frac{N-1}{2}$$

se tem a função de sistema com coeficientes reais:

$$\hat{H}(z) = \frac{1 - r^N z^{-N}}{N} \left[ \frac{|H(0)|}{1 - r z^{-1}} + \sum_{k=1}^M |H(k)| \frac{2 \cos\left(\frac{2\pi\alpha k}{N}\right) - 2r \cos\left(\frac{2\pi(1+\alpha)k}{N}\right) z^{-1}}{1 - 2r \cos\left(\frac{2\pi k}{N}\right) z^{-1} + r^2 z^{-2}} \right]$$





## SPDS/PSC – PROJECTO DE FILTROS FIR XI

### 3. Outros métodos

- Métodos de optimização numérica. Calculam o **erro** no domínio da frequência

$$E(j\omega) = W(j\omega) \left[ H(j\omega) - \underbrace{\sum_{n=0}^{N-1} h(n)e^{-j\omega T_s}}_{\hat{H}(j\omega)} \right]$$

função de peso

e determinam os coeficientes que minimizam funcional  $F(\cdot)$  de custo deste erro

$$\mathbf{h}(n)_{\text{opt}} = \min_{h(n): n=0, \dots, N-1} F[E(j\omega)]$$

- **Exemplos:**

$$F[E(j\omega)] = \max_{\omega \in [\text{Pass} \cup \text{Stop}]} |E(j\omega)|$$

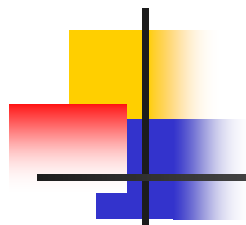
Maximização  
na banda de  
passagem e  
de atenuação

- Esta funcional leva a um filtro-solução com igual ondulação na banda de passagem e de atenuação (*equiripple*)
- A resposta na banda de transição é arbitrária e pode ser insatisfatória...
- Será que a funcional

$$F[E(j\omega)] = \int_{D\omega} |E(j\omega)|^2 d\omega$$

que corresponde à minimização do erro quadrático médio, produz filtros com boas características ?





## SPDS/PSC – FILTROS IIR I

- Equação às diferenças:

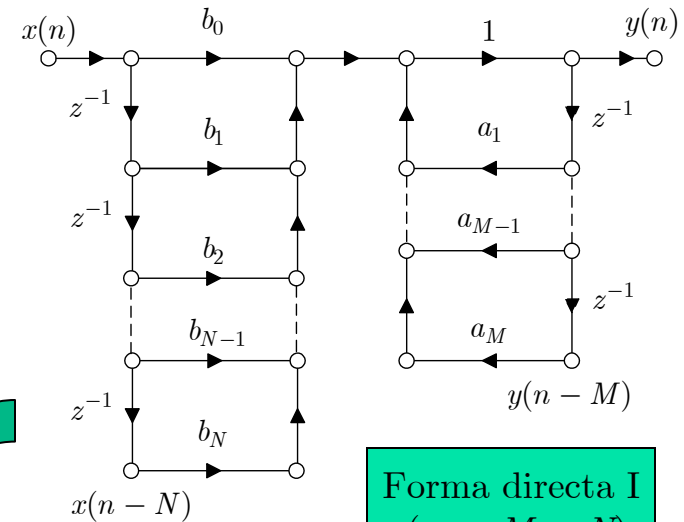
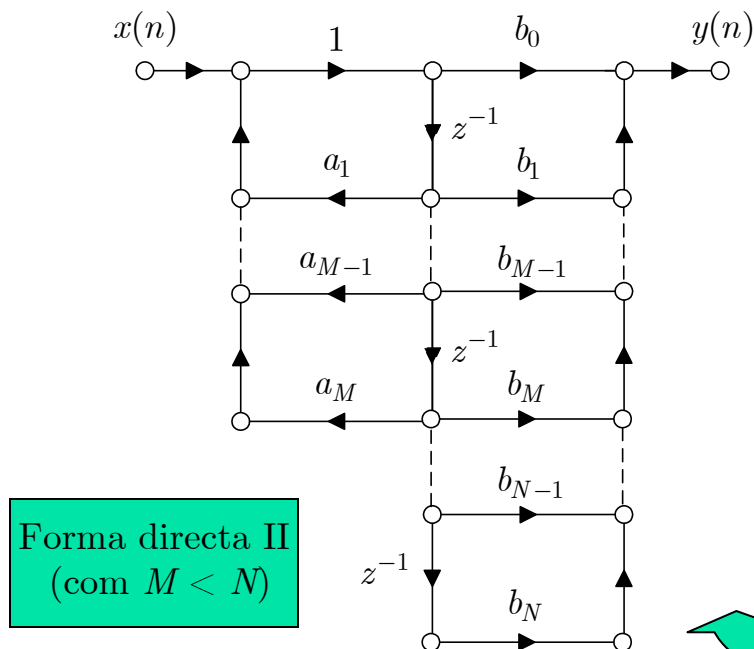
$$y(n) = \sum_{i=1}^M a_i \cdot y(n-i) + \sum_{i=0}^N b_i \cdot x(n-i)$$

- A saída actual depende da entrada actual, das  $N$  entradas anteriores e das  $M$  saídas anteriores (filtro recursivo de ordem  $M$ )
- O filtro recursivo não tem resposta impulsional de duração finita e por isso se designa por IIR (*Infinite Impulse Response*)
- O filtro IIR tem realimentação da saída  $\Rightarrow$  pode ser instável
- Um filtro IIR pode ser muito mais selectivo do que um filtro FIR (com a mesma complexidade computacional)
- Um filtro IIR pode calcular-se a partir de dois filtros FIR
- Função de sistema:**

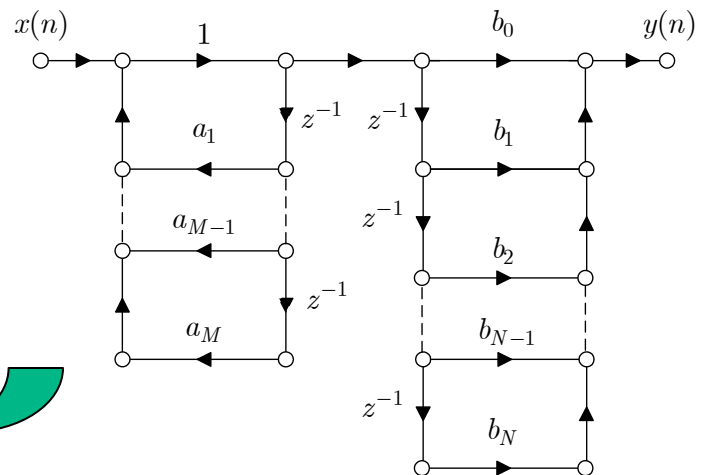
$$H(z) = \frac{Y(z)}{X(z)} = \frac{\sum_{i=0}^N b_i \cdot z^{-i}}{1 - \sum_{i=1}^M a_i \cdot z^{-i}} = \underbrace{\sum_{i=0}^N b_i \cdot z^{-i}}_{H_{\text{FIR}_1}(z)} \cdot \frac{1}{1 - \underbrace{\sum_{i=1}^M a_i \cdot z^{-i}}_{H_{\text{FIR}_2}(z)}}$$

# SPDS/PSC – FILTROS IIR II

- Diagrama de fluxo de sinal:
- Por inspecção de  $H(z)$  obtém-se a **forma directa I**
- Trocando a ordem da ligação em cadeia e associando as variáveis na linha de atraso obtém-se a **forma directa II** (número mínimo de atrasos)



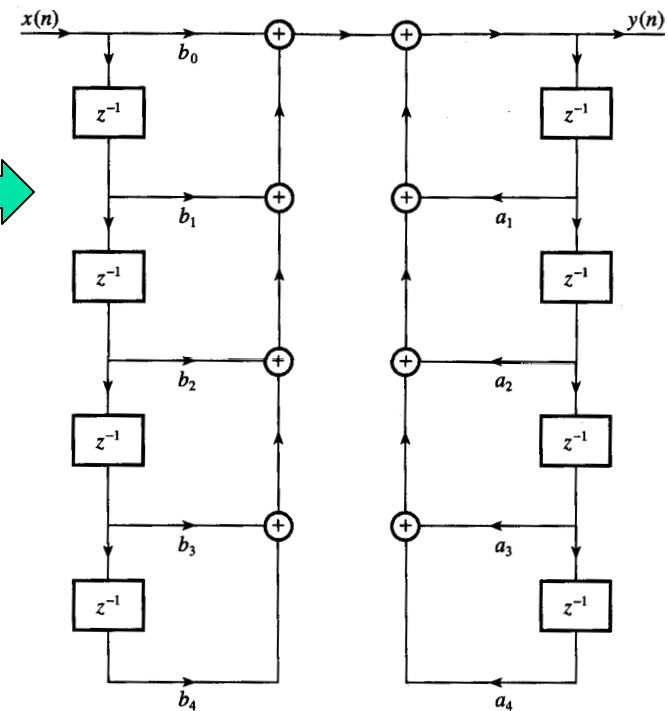
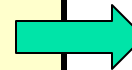
Forma directa I  
(com  $M < N$ )



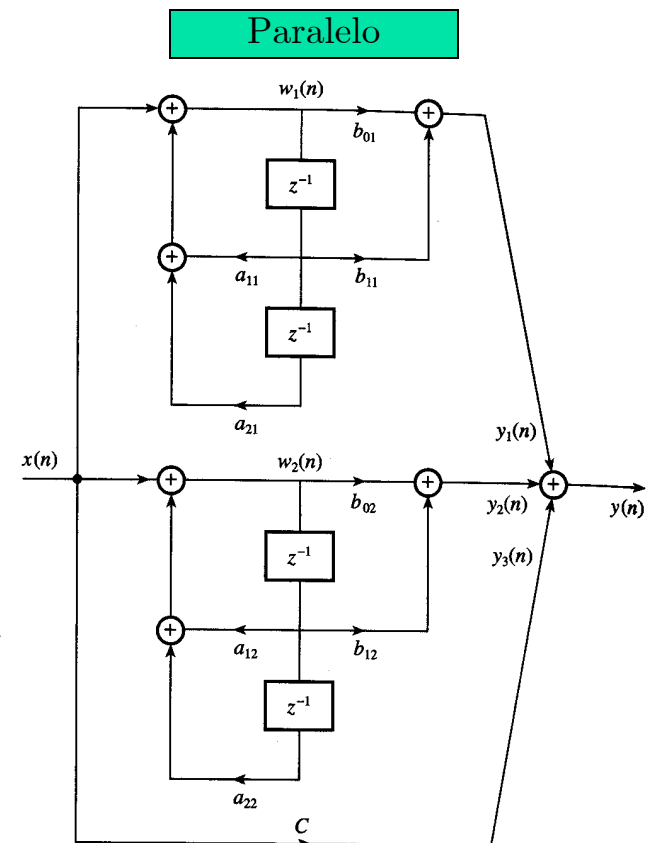
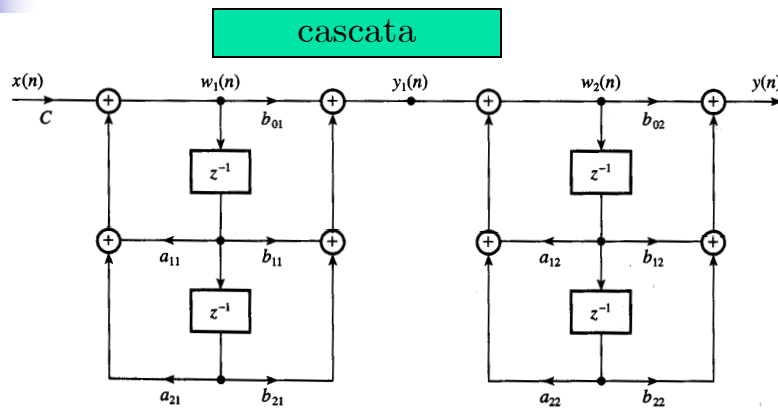
# SPDS/PSC – FILTROS IIR III

- Realização do filtro IIR: 3 formas
  1. Com as formas directas I e II. Pouco usadas devido à grande sensibilidade destas formas aos erros numéricos.
  2. Com secções de 2ª ordem (biquadráticas) na forma directa II, **em cascata**
  3. Com secções de 2ª ordem (biquadráticas) na forma directa II, **em paralelo**
- Exemplo: filtro IIR com  $M = N = 4$  (4ª ordem)

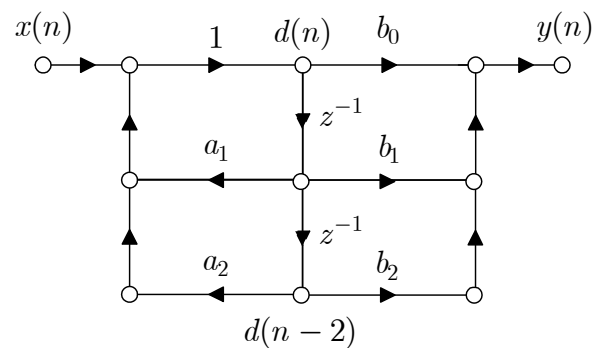
Realização	Função de sistema $H(z)$
Directa	$H(z) = \frac{\sum_{i=0}^4 b_i \cdot z^{-i}}{1 - \sum_{i=1}^4 a_i \cdot z^{-i}}$
Cascata	Factorização: $H(z) = C \prod_{i=1}^2 \frac{1 + b_{1i}z^{-1} + b_{2i}z^{-2}}{1 - a_{1i}z^{-1} - a_{2i}z^{-2}}$
Paralelo	Expansão em fracções parciais: $H(z) = C + \sum_{i=1}^2 \frac{b_{0i} + b_{1i}z^{-1}}{1 - a_{1i}z^{-1} - a_{2i}z^{-2}}$



# SPDS/PSC – FILTROS IIR IV



- Realização de secção biquadrática:



- Equações:

$d(n) = x(n) + a_1 \cdot d(n-1) + a_2 \cdot d(n-2)$	→ sequência auxiliar
$y(n) = b_0 \cdot d(n) + b_1 \cdot d(n-1) + b_2 \cdot d(n-2)$	→ saída

# SPDS/PSC – PROJECTO DE FILTROS IIR I

## ■ Métodos:

1. Conservação da resposta ao impulso
2. Transformada Z adaptada
3. Transformação bilinear

## 1. Conservação da resposta ao impulso

- a) Determinar a resposta ao impulso do filtro **analógico** pretendido (protótipo)
  - b) Amostrar esta resposta com período  $T_s$  e obter a resposta  $h(n)$  para  $n > 0$
  - c) Obter a função de transferência como a transformada Z de  $h(n)$
- Se o filtro analógico tiver apenas pólos simples ( $P$  pólos)

$$H_A(s) = \sum_{i=1}^P \frac{A_i}{s - s_i} \xrightarrow{\mathcal{L}^{-1}} h(t) = \sum_{i=1}^P A_i e^{s_i t} \xrightarrow{t=nT_s} h(n) = T_s \sum_{i=1}^P A_i e^{s_i n T_s}$$

$$\xrightarrow{Z} H(z) = T_s \sum_{n=0}^{\infty} \left( \sum_{i=1}^P A_i e^{s_i n T_s} \right) \cdot z^{-n} = T_s \sum_{i=1}^P \frac{A_i}{1 - e^{s_i T_s} z^{-1}}$$

Necessário  
para manter  
a energia!

- Se houver pólo complexo então:

$$s_i = \sigma_i + j\omega_i \rightarrow z_i = e^{s_i T_s} = e^{(\sigma_i + j\omega_i) T_s}$$

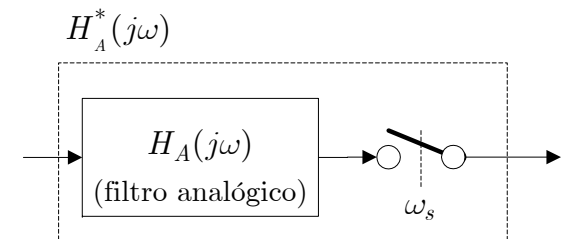
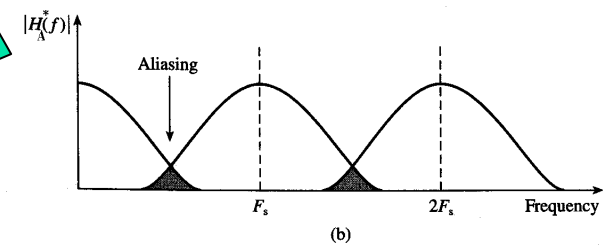
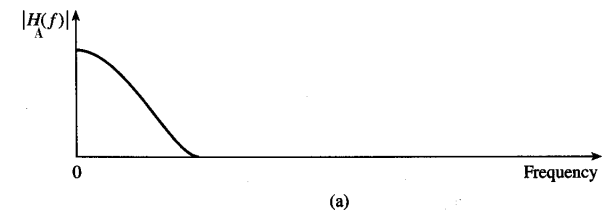
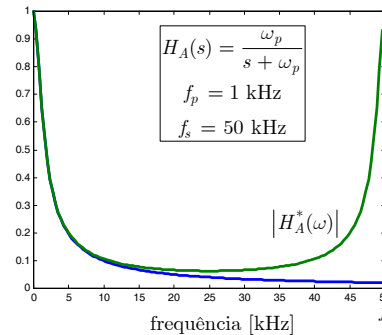
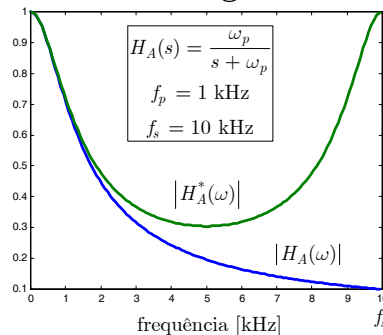
analógico estável:  $\sigma_i < 0 \rightarrow |z_i| < 1 \rightarrow$  digital estável

# SPDS/PSC – PROJECTO DE FILTROS IIR II

- **Problema:** *aliasing* pode modificar significativamente a resposta em frequência do filtro
- A resposta do filtro analógico é repetida em todos os múltiplos da frequência de amostragem
- Para não existir *aliasing* é necessário que

$$H_A(j\omega) = 0, \quad |\omega| \geq \frac{\omega_s}{2}$$

- **Conclusão:** o método da conservação da resposta ao impulso
  - Não pode ser usado para sintetizar filtros passa-alto ou rejeita-banda
  - É adequado para filtros muito selectivos ou quando se pode ter a frequência de amostragem muito elevada



$$H_A^*(j\omega) = \frac{1}{T_s} \sum_{k=-\infty}^{\infty} H_A(j\omega - jk\omega_s)$$

Resposta em frequência do filtro equivalente

# SPDS/PSC – PROJECTO DE FILTROS IIR III

## 2. Transformada Z adaptada (MZT-*Matched Z Transform*)

- O método da transformada Z adaptada transforma directamente os pólos e os zeros do filtro analógico  $H_A(s)$  em pólos e zeros do filtro digital  $H(z)$
- a) Determinar os pólos e zeros do filtro analógico pretendido
- b) Transformar os pólos e zeros de acordo com:

Pólo/zero real:

$$s + \alpha \longrightarrow 1 - e^{-\alpha T_s} z^{-1}$$

Pólos/zeros complexos conjugados:

$$(s + \alpha)^2 + \beta^2 \longrightarrow 1 - 2e^{-\alpha T_s} \cos(\beta T_s) z^{-1} + e^{-2\alpha T_s} z^{-2}$$

**Exemplo:** Calcular o filtro digital equivalente em termos da MZT ao filtro de *Butterworth* de 2ª ordem com frequência de corte  $\omega_p$  a -3dB

Filtro de *Butterworth* de 2ª ordem normalizado:  $H_B(\hat{s}) = \hat{s}^2 + \sqrt{2}\hat{s} + 1 \rightarrow s_{1,2} = \frac{1}{\sqrt{2}}(-1 \pm j)$

O filtro analógico desnormalizado é:

$$H_A(s) = \frac{1}{H_B(\hat{s})} \Big|_{\hat{s} = \frac{s}{\omega_p}} = \frac{\omega_p^2}{s^2 + \sqrt{2}\omega_p s + \omega_p^2}$$

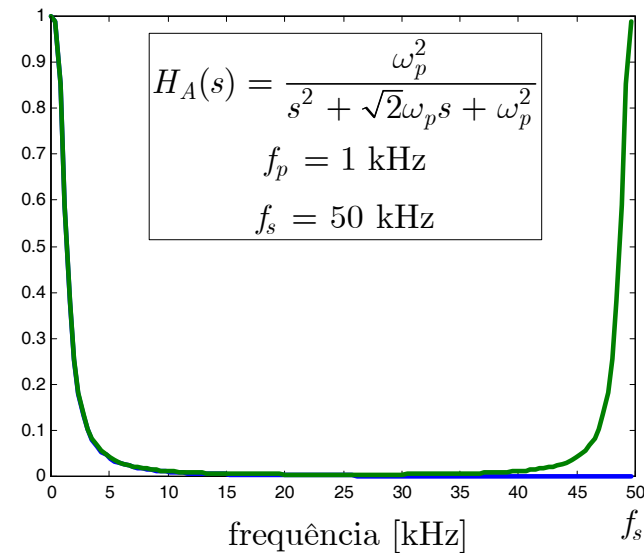
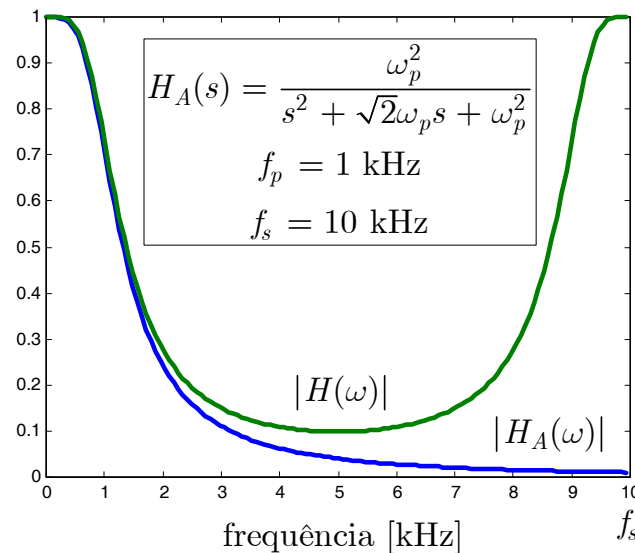
Então:

$$s^2 + \sqrt{2}\omega_p s + \omega_p^2 = (s + \alpha)^2 + \beta^2 \rightarrow \alpha = \beta = \frac{\omega_p}{\sqrt{2}}$$

Pela MZT, o filtro digital vem:

$$H(z) = \frac{\omega_p^2}{1 - 2e^{-\frac{\omega_p T_s}{\sqrt{2}}} \cos\left(\frac{\omega_p T_s}{\sqrt{2}}\right) z^{-1} + e^{-\sqrt{2}\omega_p T_s} z^{-2}}$$

# SPDS/PSC – PROJECTO DE FILTROS IIR IV



- **Conclusões:**
- O método MZT e o método da conservação da resposta ao impulso conduzem a filtros digitais  $H(z)$  com o mesmo denominador (mesmos pólos)
- Tal como o método da conservação da resposta ao impulso, o eixo de frequências  $0 \leq f < \infty$  (no domínio analógico) é comprimido ao intervalo de frequências de interesse  $0 \leq f < f_s/2$  o que leva a distorção da resposta em frequência do filtro digital (devido a *aliasing*)
- O filtro digital tende a ser menos selectivo do que o analógico
- O método é também sensível aos problemas de *aliasing* e não pode ser utilizado para filtros passa-alto e rejeita-banda



# SPDS/PSC – PROJECTO DE FILTROS IIR V

## 3. Transformação bilinear

- Considere-se um integrador analógico  $H_I(s) = 1/s$  cuja resposta ao sinal  $x(t)$  é

$$y(t) = y(t_0) + \int_{t_0}^t x(\tau) d\tau \xrightarrow[t_0 = nT_s - T_s]{t = nT_s} y(n) - y(n-1) = \frac{T_s}{2} [x(n-1) + x(n)]$$

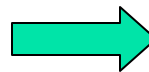
- Obtém-se o integrador digital com função

$$H_I(z) = \frac{Y(z)}{X(z)} = \frac{T_s}{2} \frac{z+1}{z-1} \Leftrightarrow H_I(s) = \frac{1}{s}$$

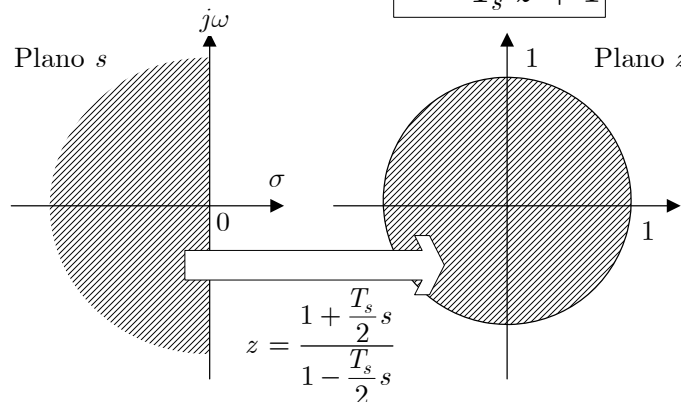
Integrador  
trapezoidal

pelo que

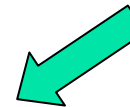
$$s = \frac{2}{T_s} \frac{z-1}{z+1}$$



Transformação bilinear



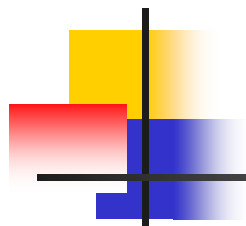
$$s = \sigma + j\omega \rightarrow |z|^2 = \frac{\left(1 + \frac{\sigma T_s}{2}\right)^2 + \left(\frac{\omega T_s}{2}\right)^2}{\left(1 - \frac{\sigma T_s}{2}\right)^2 + \left(\frac{\omega T_s}{2}\right)^2}$$



$$\begin{aligned} \sigma < 0 &\rightarrow |z| < 1 \\ \sigma = 0 &\rightarrow |z| = 1 \\ \sigma > 0 &\rightarrow |z| > 1 \end{aligned}$$

- Seleccionar filtro analógico  $H_A(s)$  com características pretendidas

- Obter o filtro digital como  $H(z) = H_A(s) \Big|_{s = \frac{2}{T_s} \frac{z-1}{z+1}}$



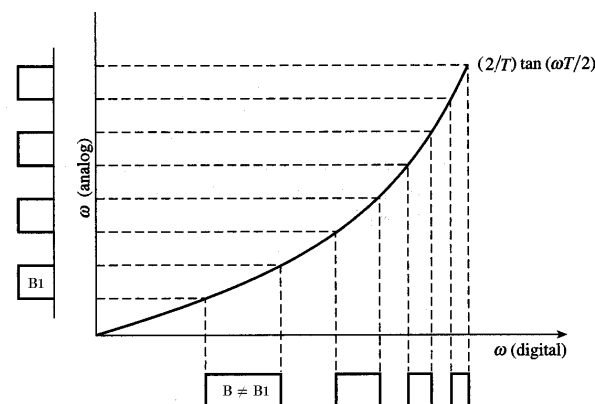
## SPDS/PSC – PROJECTO DE FILTROS IIR VI

- **Propriedades da transformação bilinear:**
- Como o SPCE é mapeado no interior do círculo unitário, um filtro analógico estável origina sempre um filtro digital estável
- Deforma a escala de frequências (*frequency warping*) e consequentemente não preserva as larguras de banda

$$s = \frac{2}{T_s} \frac{z - 1}{z + 1} \rightarrow j\omega_a = \frac{2}{T_s} \frac{e^{j\omega_d T_s} - 1}{e^{j\omega_d T_s} + 1}$$



$$\omega_a = \frac{2}{T_s} \tan\left(\frac{\omega_d T_s}{2}\right)$$



- Aparte a deformação de frequência, a característica de atenuação (amplitude) é preservada
- A característica de fase (e de atraso de grupo) não é preservada
- **Pré-distorção da escala de frequências:** compensa a distorção introduzida pela transformação bilinear. Para obter filtro digital com bandas de atenuação ou de passagem com frequências  $\omega_{d1}, \omega_{d2}, \dots$  deve projectar-se o filtro analógico com as frequências  $\omega_{a1}, \omega_{a2}, \dots$